

تحلیل اثرات خشکسالی‌های اقلیمی اخیر بر میزان شوری آب‌های زیرزمینی با استفاده از روش‌های زمین‌آماری و GIS در دشت یزد-اردکان

مهدیه سلطانی گردفرامرزی^۱

شهاب شفیعی^۲

تاریخ پذیرش مقاله: ۹۵/۱۱/۱۸

تاریخ دریافت مقاله: ۹۵/۰۵/۲۲

چکیده

در سال‌های اخیر تغییرات جهانی اقلیمی در بسیاری از مناطق کشور خصوصاً فلات مرکزی ایران منجر به تشدید پدیده خشکسالی شده است. دشت یزد-اردکان در استان یزد نیز از این امر مستثنی نبوده و تکرار این پدیده منجر به بروز تغییراتی در کیفیت و کمیت منابع آب موجود داشت که عمدتاً چاه‌های آب زیرزمینی هستند؛ گردیده است. هدف از انجام این پژوهش بررسی تأثیر خشکسالی‌های دودهه اخیر بر شوری آب استحصالی از چاه‌های آب زیرزمینی منطقه می‌باشد. برای این کار از داده‌های هواشناسی دشت یزد-اردکان در دوره زمانی، بارش بلند مدت ۷ ایستگاه (۱۳۴۶-۱۳۹۱) و بارش کوتاه مدت ۱۱ ایستگاه (۱۳۷۵-۱۳۹۱) استفاده شده است. نتایج این مطالعه در ارزیابی بدللهای واریوگرامی خشکسالی‌ها بهترین مدل را، مدل کروی و گوسین در خشکسالی و شوری و همچنین با توجه به روش زمین‌آماری بهترین مدل برونيابی را، کریجینگ و کوکریجینگ تشخیص داده است. در تحلیل همبستگی باهر سه آماره پیرسون، منکدال و اسپرمن بین بارش (spi) و شوری بر مبنای نمره Z روند منفی به همراه همبستگی معکوس مشاهده شده، که در هچکدام سطح معنی دار مشاهده نمی‌شود. وجود همبستگی قوی بین این دو پارامترها تأثیر یک سال از نتایج دیگر این پژوهش بوده است. به وسیله نرم افزار GS+ و GIS انتخاب بهترین مدل واریوگرامی، نقشه‌های خشکسالی و شوری آب زیرزمینی و نقشه تغییرات شوری نیز ترسیم گردید. به طور کلی در اکثر ایستگاه‌ها با روند منفی بارش، روند مثبت شوری آب زیرزمینی مشاهده می‌شود و همچنین کیفیت آب زیرزمینی در مناطقی که بیشتر مورد هجمه خشکسالی قرارداشته است شدیدتر تغییر یافته و شوری آن نیز بیشتر شده است.

واژه‌های کلیدی: خشکسالی، آب زیرزمینی، شوری، زمین‌آمار، سیستم اطلاعات جغرافیایی (GIS)، دشت یزد-اردکان

۱- کارشناس ارشد آب و هواشناسی کاربردی (نویسنده مسئول) m.soltani32@mail.com

۲- دانشیار جغرافیا، دانشگاه یزد gmozafari@yazduni.ac.ir

۳- دانشجوی دکتری دانشگاه یزد shafieshahab@gmail.com

۱- مقدمه

سبب با کم شدن میزان آب در اثر وقوع خشکسالی بیشترین آسیب متوجه این بخش از فعالیت‌های اقتصادی می‌گردد. پیرامون خشکسالی در سطح جهان و ایران مطالعات زیادی صورت گرفته و این نشانه اهمیت موضوع است و همچنین کمبود آب و شور شدن آن که از پیامدهای خشکسالی است ارزشمند برای مدیریت منابع آبی مناطقی چون ایران که بخش اعظم آنرا مناطق خشک و نیمه خشک تشکیل می‌دهد، محسوس خواهد شد. از بین متغیرهای اقلیمی نیز بارش به عنوان مهمترین متغیر تعیین کننده در شرایط خشکسالی است.

شفیلد وود^(۲۰۰۸)، نیز با استفاده از مدل‌های اقلیمی و سنتاریوهای A2.B1 و A1B افزایش خشکسالی‌ها را در جهان به اثبات رسانند.

هدف از این مطالعه بررسی تغییرات بارش دوره ۲۰۱۱-۲۰۳۰ تحت تأثیر تغییر اقلیم و ارزیابی شدت و فراوانی خشکسالی و اثرات آن بر بخش کشاورزی و جریان آب‌های سطحی در سال‌های آتی می‌باشد. دمیر و همکاران^(۳) معنی‌دار میزان هدایت الکتریکی را مهمترین نتایج تحقیق خود عنوان نمودند. مظفری و همکاران^(۴)، در ارزیابی بهترین روش زمین آماری برای درونیابی شاخص بارش استاندارد و شاخص خشکی مؤثر در استان بوشهره ترتیب، روش عکس فاصله وزنی با توان ۲ و روش کریجینگ را معمولی دانستند.

بزدانی و همکاران^(۵)، به منظور پنهان‌بندی خشکسالی در کل کشور با استفاده از شاخص بارش استاندارددار دو مقیاس زمانی ۳ و ۱۲ ماهه و مدل‌های

خشکسالی‌ها یکی از تغییرات معمول اقلیمی می‌باشند که بسیاری از مناطق خشک و نیمه خشک دنیا را با شدتهاي زیاد هر چند سال یکبار دربرمی‌گیرد.

در بسیاری از سال‌ها هم رخداد خشکسالی برای مدتی مشخص نیست از این رو شناسائی خشکسالی، خود یافته‌های ارزشمند برای مدیریت منابع آبی مناطقی چون ایران که بخش اعظم آنرا مناطق خشک و نیمه خشک تشکیل می‌دهد، محسوس خواهد شد. از بین متغیرهای اقلیمی نیز بارش به عنوان مهمترین متغیر تعیین کننده در شرایط خشکسالی است.

بارندگی مهمترین متغیری است که تغییرات آن به طور مستقیم در رطوبت خاک و جریان‌های سطحی، تغییرات مخازن زیرزمینی آب وغیره منعکس می‌شود. بنابراین سه چالش عمده جهانی شامل تغییر اقلیم، کاهش منابع آبی و بیان‌زایی می‌باشد.

روند تغییرات منابع آبی نشان می‌دهد که علاوه بر کاهش منابع آبی، نحوه بهره‌برداری از آن نیز در مناطق خشک و نیمه خشک طی سالیان متعددی به تدریج باعث کاهش کیفیت آب و خاک شده است.

با توجه به این که منابع آب ایران هم‌اکنون نیز تحت محدودیت شدید قرار دارد، تلاش‌های اخیر در راستای خودکفایی در تولید، باز هم فشار بیشتری بر منابع آب وارد آورده است. قطعاً با روند کوتني، منابع آب بخش کشاورزی دچار آسیب جدی خواهد شد، به طوری که خشکسالی‌های اخیر باعث افت سطح و بدی کیفیت آب‌های زیرزمینی شده است. از راهکارهای مقابله با این بحران استفاده از منابع آب شور، مدیریت آبیاری، بهره‌وری آب، تغییر الگوی کشت و طبقه‌بندی اقلیمی کشاورزی می‌باشد (کیانی و خوش روش، ۱۳۹۰: ۲۶).

بخش عملهای از آب‌های موجود صرف فعالیت‌های کشاورزی می‌شود. در کشور ما بیش از ۹۰٪ آب‌های موجود در بخش کشاورزی به مصرف می‌رسد. به همین

1- Blenkinsop and Fowler

2- Shefield and Wood

3- Demir, et al

4- polat

5-Mozafari, et al

6-Yazdani, et al

فصلنامه علمی - پژوهشی اطلاعات جغرافیایی (پژم)
تحلیل اثرات خشکسالی‌های اقلیمی اخیر بر میزان ... / ۱۸۱

(بری ابرقویی^۱:۱۳۹۳:۱۳)، طی مطالعه‌ای اثرات خشکسالی را بر شوری آب زیرزمینی در دشت بهادران انجام داده و پدیده تغییر اقلیم را در دوره‌های آتی (۱۴۲۰-۱۳۹۱) به کمک مدل‌های جهانی اقلیمی (مدل HadCM3) بررسی نموده است. نتایج حاکی از این است که حتی در صورت عدم تغییر در میزان آب استحصالی از چاههای منطقه در آینده به دلیل تغییرات اقلیمی، کیفیت آن در منطقه تغییر خواهد نمود. این نوسانات بین ۱ تا ۲ دسی زیمنس بر متر در سال‌های مختلف متفاوت خواهد بود.

(رهنم و میراثی^۲:۱۳۹۳:۱۳)، در مطالعه‌ای که تحت عنوان خشکسالی و بحران آب در دشت مرودشت و خان‌میرزا انجام دادند، نشان دهنده یک دوره خشک سالی ۶ ساله در دشت مرودشت استان فارس و یک دوره خشکسالی ۴ ساله در دشت خان‌میرزا استان چهارمحال و بختیاری بوده است. بر این اساس در صورت ادامه روند کنونی و عدم انجام اقدامات جدی و عملی در جهت کاهش برداشت‌های بی رویه از منابع آب زیرزمینی در این دو منطقه، در آینده نزدیک شاهد بروز پیامدهای زیست‌محیطی و مشکلات اقتصادی و اجتماعی فراوان در این دو دشت خواهیم بود.

(چشمی^۳:۱۳۹۳:۵۶)، تحقیقی را در دشت رامهرمز استان خوزستان انجام داده است، وی با استفاده از شاخص‌های اقلیمی، SPI و شبکه عصبی NARX^۴ به ارزیابی اثر تغییر اقلیم بر منابع آب زیرزمینی پرداخته به طوری که داده‌های بارش و دما توسط مدل ARS-WG-Ariz مقایسه شدند و بر اساس نتایج، معیار مجموع بزرگی خشکسالی (DMI)، معیار مناسب‌تری برای نشان دادن وضعیت خشکسالی در منطقه تشخیص داده شده است.

همانگونه که ملاحظه می‌شود پژوهش‌های انجام شده در داخل و خارج کشور در زمینه خشکسالی بیشتر به شدت خشکسالی‌ها در مناطق مختلف و همچنین توریع مکانی آن و بررسی کیفیت آب زیرزمینی در نواحی گوناگون می‌باشد در مواردی نیز به وضعیت خشکسالی بر منابع آب سطحی و همچنین سطح آب زیرزمینی پرداخته شده است. با توجه به

کروی، نمائی، گوسی و توانی در روش کریجینگ به این نتیجه رسیدند که در مقیاس ۱۲ ماهه مدل کروی و در مقیاس ۳ ماهه مدل نمایی نتایج قابل قبولی از خود نشان می‌دهند. ویچی و همکاران^۱(۲۰۱۱)، مطالعه‌ای به منظور بررسی فعالیت‌های انسانی روی کیفیت آب زیرزمینی، از لحاظ آشامیدن، در شهر پوری هند انجام دادند.

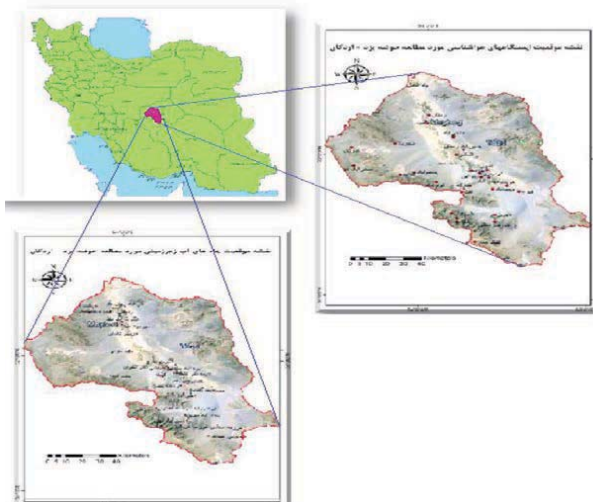
نمونه‌های آب زیرزمینی جمع‌آوری شده با استفاده از تکنیک‌های ژئواستاتیستیک در GIS^۵ مورد آنالیز قرار گرفت. کیفیت آب در کلاس‌های مناسب، متوسط و نامناسب طبقه‌بندی شد. آنها بیان نمودند که روش ژئواستاتیستیک می‌تواند برای ارزیابی آب زیرزمینی به منظور اهداف دیگر نیز استفاده شود.

انورنو و همکاران^۶(۲۰۱۲)، کیفیت آب زیرزمینی حوضه دنسو در غنا را با استفاده از GIS و روش‌های دراستیک مورد بررسی قرار دادند. این تحقیق نشان داد که ۴۷ درصد از حوضه خطر ریسک بالا، ۴۳ درصد خطر ریسک متوسط و ۱۰ درصد خطر ریسک کمی دارد. آنها توصیه کردند رشد سریع شهری در مناطق با ریسک بالا نیاز به برنامه‌ریزی دارد و می‌توان از نتایج این تحقیق برای دیگر حوضه‌های غنا استفاده کرد.

(پورمحمدی^۷:۱۳۹۱:۲)، اثرات تغییر اقلیم را بر منابع آب در حوضه آبخیز منشاد مورد بررسی قرار داده و راهکارهای مدیریتی را ارائه داده و به این نتیجه رسیده که افزایش دما و کاهش بارش در طی یک دوره آماری باعث کاهش دبی جریانات سطحی در منطقه شده است.

(خوش‌احلاق و همکاران^۸:۱۳۹۱:۱۱۹)، در سال آبی ۸۷-۱۳۸۶ خشکسالی و اثرات آن را بر منابع آب و کشاورزی در شهر مرودشت بررسی کردند و بیان نمودند که خشکسالی در این سال از شدت بسیار بالایی برخوردار بوده و اثرات منفی شدیدی بر منابع آب و کشاورزی شهر داشته و میزان محصول نیز در واحد سطح کاهش زیادی نسبت به دوره‌های قبل دارد.

1-Vijay, et al
2-Anormu, et al



نگاره ۱: موقعیت منطقه مورد مطالعه در کشور و استان یزد، پراکنش ایستگاه‌های هواشناسی و چاه‌های گمانه آب زیرزمینی دشت یزد - اردکان.

پراکنش ایستگاه‌ها در این حوضه، در مجموع از داده‌های سالانه بارش ایستگاه‌های هواشناسی دشت یزد - اردکان طی دو دوره بلند مدت ۷ و ۱۳۹۱ (۱۳۴۶-۱۳۹۱) و منبع تأمین کننده کشاورزی و توسعه آن می‌باشد. به عنوان مهمترین زیرساخت توسعه و فعالیت‌های عمرانی و آبادانی، مشترک کوتاه مدت بارش و شوری ۴۱ ایستگاه هواشناسی به منظور مدیریت ریسک و کاهش خسارات ناشی از آن، و ۴۷ چاه آب زیرزمینی (۱۳۹۱ تا ۱۳۷۵) استفاده شده است (جدول ۱ و ۲). روش مطالعه توصیفی - تحلیلی با هدف کاربردی - توسعه‌ای در این دشت که به طول جغرافیایی ۵۳ درجه و ۱۵ دقیقه تا ۵۴ درجه و ۵۰ دقیقه شرقی و عرض جغرافیایی ۳۱ درجه و ۱۵ دقیقه تا ۳۲ درجه و ۴۵ دقیقه شمالی بوده است (نگاره ۱)، با استفاده از نرم افزار Excel شاخص خشکسالی استاندارد شده بارش برای تعیین وضعیت خشکسالی و روش‌های آمار توصیفی در نرم‌افزار SPSS برای تشریح وضعیت شوری آب زیرزمینی به کار برده شده است. تحلیل‌های همبستگی پیرسون و من Kendall و اسپرمن نیز برای تعیین رابطه بین خشکسالی و وضعیت میزان شوری آب زیرزمینی استفاده گردید. در نهایت از سیستم اطلاعات جغرافیایی نیز برای ترسیم نقشه پهنه‌بندی وضعیت شوری آب زیرزمینی بهره برده شد.

شرایط ویژه استان یزد از نظر خشکسالی و خسارات ناشی از آن و نقش حیاتی آب (به ویژه آب زیرزمینی) که تنها منبع تأمین کننده کشاورزی و توسعه آن می‌باشد، به عنوان شناسایی ویژگی‌های خشکسالی در سطح منطقه و پیش‌بینی قابل اطمینان آن و همچنین شناسایی کیفیت آب زیرزمینی (به ویژه شوری) که در ایران مرکزی و به تبع آن استان یزد) از اهمیت ویژه‌ای برخوردار است. از این رو هدف از انجام این تحقیق بررسی بهترین روش میانیابی خشکسالی در سطح دشت یزد - اردکان، شناخت مناطق تحت خطر این پدیده و شناسایی توزیع مکانی آن می‌باشد. همچنین به بررسی ارتباط بین خشکسالی و میزان شوری آب زیرزمینی و پراکنش مکانی آب‌های شور در دشت بزرگ یزد - اردکان پرداخته شده است (سلطانی گردفرامرزی، ۱۳۹۳).

۲- مواد و روش‌ها

در این پژوهش با توجه به عدم برخورداری دوره آماری طولانی مدت برخی از ایستگاه‌ها و با در نظر گرفتن رعایت

فصلنامه علمی - پژوهشی اطلاعات جغرافیایی (جغرافیا) ۱۳۹۳
تحلیل اثرات خشکسالی‌های اقلیمی اخیر بر میزان ... / ۱۸۳

۱۷	۱۲۳۳	۳۱ ۵۱	۵۴ ۲۳	مهدی آباد
۱۷	۲۲۹۶	۳۱ ۳۲	۵۴ ۱۲	منشاد
۱۷	۱۴۸۷	۳۱ ۳۵	۵۴ ۲۶	مهریز
۱۷	۱۴۴۹	۳۱ ۴۶	۵۴ ۱۴	مبارکه
۱۷	۱۲۵۵	۳۱ ۴۶	۵۴ ۲۵	محمد آباد
۱۷	۱۹۹۴	۳۲ ۰۳	۴۷ ۳۴	ندوشن
۱۷	۱۲۳۶	۳۱ ۵۱	۵۴ ۲۰	راه آهن
۱۷	۲۱۸۴	۳۱ ۵۵	۵۳ ۳۵	صدر آباد ندوشن
۱۷	۲۰۹۰	۳۲ ۰۹	۴۷ ۲۵	سورک
۱۷	۱۵۰۰	۳۱ ۴۵	۵۴ ۱۴	نت
۱۷	۲۲۷۰	۳۱ ۲۳	۵۴ ۱۹	تگ چهار
۱۷	۲۲۴۷	۳۱ ۳۶	۵۴ ۱۰	ظرجان
۱۷	۱۳۸۷	۳۲ ۳۲	۵۴ ۲۵	توت

مأخذ: سازمان هواشناسی استان یزد، ۱۳۹۳.

جدول ۲: مشخصات چاههای آب زیرزمینی مورد مطالعه

دوره آماری موردنظر مطالعه (سال)	عرض طول جغرافیایی (درجه- دقیقه)	ارتفاع از سطح دریا (m)	نام چاه و قات
۱۸	۱۲۳۴	۳۱ ۵۱	۵۴ ۲۴ اکرمیه
۱۸	۱۲۰۶	۳۱ ۵۵	۵۴ ۱۹ کارخانه افشار (بلوار)
۱۸	۱۲۱۴	۳۲ ۱۹	۴۷ ۴۸ ارجان
۱۸	۱۱۹۳	۳۱ ۵۷	۵۴ ۱۷ انبار اداره راه
۱۸	۱۲۲۱	۳۱ ۴۷	۵۴ ۳۴ شرکت اسزار
۱۸	۱۲۱۳	۳۱ ۵۴	۵۴ ۲۲ اتان گاز
۱۸	۱۱۹۵	۳۱ ۵۷	۵۴ ۲۰ آجر فرد
۱۸	۱۰۱۴	۳۲ ۲۱	۴۷ ۵۷ نظام آباد میرشاه
۱۸	۲۰۲۷	۳۱ ۳۷	۵۴ ۱۱ نوهنتزا
۱۸	۱۰۴۰	۳۲ ۲۰	۴۷ ۵۵ شماره امیلشیار
۱۸	۱۲۶۳	۳۱ ۴۶	۵۴ ۲۵ محمد آباد (قات)

جدول ۱: مشخصات جغرافیایی و ارتفاعی ایستگاه‌های مورد مطالعه

نام ایستگاه	جغرافیایی (درجه- دقیقه)	عرض جغرافیایی (درجه- دقیقه)	طول جغرافیایی (درجه- دقیقه)	دوره آماری موردنظر مطالعه (سال)	ارتفاع از سطح دریا (m)
یزد	۵۴ ۱۷	۳۱ ۵۴	۱۲۲۸	۱۷ و ۴۵	
مزرعه نو	۴۷ ۲۹	۳۲ ۲۳	۱۳۳۷	۱۷ و ۴۵	
مزرعه آقا	۵۴ ۳۷	۳۲ ۲۰	۱۹۱۱	۱۷ و ۴۵	
حسین آباد	۵۴ ۱۴	۳۲ ۰۲	۱۱۸۴	۱۷ و ۴۵	
حاجی آباد	۵۴ ۱۰	۳۲ ۰۸	۱۱۴۲	۱۷ و ۴۵	
خویدک	۵۴ ۳۰	۳۱ ۴۷	۱۲۵۵	۱۷ و ۴۵	
اردکان	۵۴ ۰۱	۳۲ ۱۷	۱۰۴۸	۱۷ و ۴۵	
آبشور بزد	۵۴ ۲۲	۳۱ ۵۴	۱۲۰۹	۱۷	
علی آباد چهل کجی	۵۴ ۱۶	۳۱ ۱۷	۱۹۶۰	۱۷	
اشکذر	۵۴ ۱۱	۳۲ ۰۰	۱۱۶۵	۱۷	
بهادران	۵۴ ۵۵	۳۱ ۱۹	۱۴۶۰	۱۷	
بنادک سادات	۵۴ ۱۲	۳۱ ۳۳	۲۱۸۹	۱۷	
بیداخوید	۴۷ ۵۵	۳۱ ۳۳	۲۲۶۳	۱۷	
چاه افضل	۴۷ ۵۲	۳۲ ۳۰	۹۸۰	۱۷	
درب رز	۵۴ ۲۰	۳۱ ۵۳	۱۲۲۶	۱۷	
ابراهیم آباد	۵۴ ۲۰	۳۱ ۳۷	۱۶۰۹	۱۷	
اشنیز	۴۷ ۴۹	۳۲ ۰۵	۱۸۱۲	۱۷	
فخر آباد	۴۷ ۴۰	۳۲ ۱۹	۱۴۸۳	۱۷	
فهرج	۵۴ ۳۴	۳۱ ۴۵	۱۲۷۲	۱۷	
کارپیز	۵۴ ۰۶	۳۱ ۱۸	۲۰۳۲	۱۷	
گردکوه	۵۴ ۴۷	۳۱ ۳۰	۱۴۵۷	۱۷	
قوم آباد	۵۴ ۰۴	۳۱ ۴۹	۱۶۴۳	۱۷	
هفتادر	۴۷ ۴۱	۳۲ ۲۷	۱۰۹۶	۱۷	
کذاب	۴۷ ۵۲	۳۱ ۰۵	۱۸۸۰	۱۷	
خرانق	۵۴ ۴۱	۳۲ ۲۰	۱۸۱۵	۱۷	
حضر آباد	۴۷ ۵۷	۳۱ ۵۳	۱۶۳۷	۱۷	
خورمیز	۵۴ ۲۶	۳۱ ۳۲	۱۵۰۹	۱۷	
میبد	۵۴ ۰۱	۳۲ ۱۴	۱۰۹۲	۱۷	

۱۸	۱۶۴۲	۳۱ ۳۸	۵۴ ۱۹	ابراهیم آباد- رحمت
۱۸	۱۲۷۸	۳۱ ۵۲	۵۴ ۱۶	معتدلین
۱۸	۱۲۷۰	۳۱ ۴۶	۵۴ ۳۵	باقری فهرج
۱۸	۱۵۴۴	۳۱ ۳۵	۵۴ ۲۵	بغداد آباد- مهریز
۱۸	۱۰۹۵	۳۲ ۲۲	۴۷ ۵۰	پاگله‌د اردکان
۱۸	۱۲۱۹	۳۱ ۵۳	۵۴ ۲۰	ترمه بلقی قانغان
۱۸	۱۰۲۲	۳۲ ۲۲	۵۴ ۰۱	تعمی آباد زمان آباد
۱۸	۱۰۲۹	۳۲ ۲۰	۵۴ ۰۱	چهار بازار اردکان
۱۸	۱۱۱۵	۳۲ ۱۰	۵۴ ۰۶	روستم کاشانی
۱۸	۱۱۰۱	۳۲ ۰۲	۵۴ ۰۴	قند هاری
۱۸	۱۱۸۰	۳۱ ۵۸	۵۴ ۱۳	ملت زارچ

منابع: سازمان آب منطقه‌ای استان یزد، ۱۳۹۳.

۳- نتایج و بحث

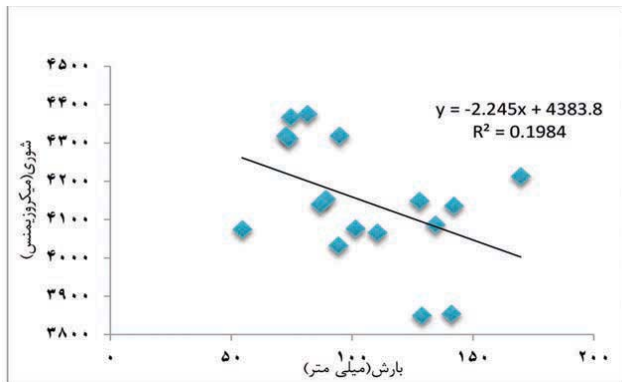
پس از تعیین میانگین شوری آب زیرزمینی در سال‌های مشاهداتی، اقدام به تعیین ارتباط آن با بارندگی سالانه حوضه به عنوان مهمترین و مؤثرترین پارامتر اقلیمی در منطقه مطالعاتی شده نگاره ۲ نشان دهنده رابطه رگرسیونی بین این دو پارامتر است.

نمودار ارائه شده در نگاره ۲ بیانگر این مسئله است که میزان بارش در هر سال، با مقدار شوری سفره آب زیرزمینی همانگ است یعنی تغییرات کیفی آب زیرزمینی متأثر از عامل اقلیمی (بارش) است و یا به عبارت دیگر با افزایش نزولات جوی به خصوص بارش، شوری آب زیرزمینی کاهش می‌یابد.

با توجه به آماره منکندها و ضریب همبستگی پیرسون و اسپرمن بین شاخص خشکسالی مورد مطالعه SPI و شوری آب زیرزمینی بر مبنای نمره Z دشت یزد - اردکان مشاهده می‌شود که در هر سه آماره فوق بارش دارای روند منفی

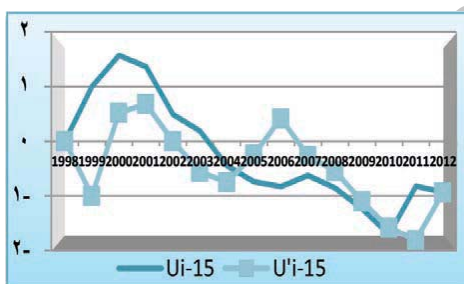
۱۸	۱۴۳۱	۳۱ ۳۱	۵۴ ۳۷	هزاره استادان
۱۸	۱۰۹۰	۳۲ ۱۴	۵۴ ۰۰	مهرجرد میبد
۱۸	۱۲۱۷	۳۱ ۵۳	۵۴ ۲۲	میدان شهردا
۱۸	۱۱۹۷	۳۱ ۵۶	۵۴ ۱۸	دکتر میرجلالی
۱۸	۱۰۲۷	۳۲ ۲۰	۴۷ ۵۶	شماره میلشیار
۱۸	۱۲۱۱	۳۱ ۴۳	۵۴ ۲۸	علی آباد دشتی
۱۸	۱۰۶۰	۳۲ ۱۶	۵۴ ۰۰	عشرت آباد میبد
۱۸	۱۰۱۶	۳۲ ۲۳	۵۴ ۰۰	عصر آباد اردکان
۱۸	۱۶۰۴	۳۱ ۳۱	۵۴ ۲۴	غربالبیز
۱۸	۱۰۳۷	۳۲ ۱۸	۵۴ ۱۴	واعظی
۱۸	۱۰۳۶	۳۲ ۲۲	۵۴ ۰۱	قاسم آباد اردکان
۱۸	۱۰۲۲	۳۲ ۱۹	۵۴ ۰۱	قطب آباد اردکان
۱۸	۱۲۴۵	۳۱ ۴۹	۵۴ ۲۵	کشاورزی دهنو
۱۸	۱۱۸۳	۳۱ ۵۷	۵۴ ۱۵	شیرین زارچ
۱۸	۱۱۷۳	۳۱ ۵۸	۵۴ ۱۵	شور زارچ
۱۸	۱۲۰۱	۳۱ ۵۵	۵۴ ۱۷	ابرند آباد سکنای
۱۸	۱۲۵۳	۳۱ ۴۸	۵۴ ۲۴	کارخانه سیمان
۱۸	۱۲۹۰	۳۱ ۵۱	۵۴ ۱۵	شحنه
۱۸	۱۷۴۱	۳۱ ۳۸	۵۴ ۱۴	طرنج
۱۸	۱۲۶۹	۳۱ ۴۶	۵۴ ۳۳	ذوب روی
۱۸	۱۵۵۳	۳۱ ۲۶	۵۴ ۳۴	هزاره حاجی عبدالله
۱۸	۱۵۲۸	۳۱ ۳۳	۵۴ ۲۵	حسن آباد مهریز
۱۸	۱۲۴۱	۳۱ ۵۰	۵۴ ۲۵	حسین آباد ریسمانی
۱۸	۱۷۱۷	۳۱ ۵۱	۴۷ ۵۷	حضر آباد
۱۸	۱۲۶۳	۳۱ ۴۷	۵۴ ۳۱	خویدک

فصلنامه علمی - پژوهشی اطلاعات جغرافیایی (ESRI)
تحلیل اثرات خشکسالی‌های اقلیمی اخیر بر میزان ... / ۱۸۵

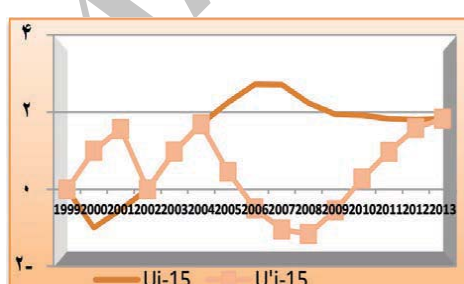


نگاره ۲: ارتباط بین بارندگی و شوری سالانه آب زیرزمینی دشت یزد - اردکان در دو دهه اخیر

می باشد و همبستگی بین دو پارامتر ذکر شده معکوس است اما تأثیرپذیری بیشتر نسبت به چاههای اطراف، با نزدیکترین چاه اطراف مقایسه می شود. به طور کلی از مقایسه روند بلندمدت و کوتاهمدت ایستگاهها به این نتیجه می رسیم که تغییرات در ارزیابی روند کوتاه مدت مشخص و محسوس تر به نظر می رسد.



نگاره ۳: روند بارش کوتاه مدت ایستگاه هواشناسی یزد



نگاره ۴: روند شوری آب زیرزمینی کارخانه افشار

می باشد و همبستگی بین میزان SPI و شوری آب زیرزمینی معکوس است اما آب با تأخیر صورت می گیرد و نیز چون محدودیت و فقدان داده‌های ماهانه شوری آب زیرزمینی وجود داشته، دوره زمانی سالیانه مورد بررسی قرار گرفت. بنابراین اثر خشکسالی را یک بار با همان سال و بار دیگر با تأخیر یک ساله همبستگی گرفته و برای هر سه روش ضرایب پیرسون، من-کنдал و اسپرمن، همبستگی قوی‌تری در بررسی با یک سال تأخیر قابل مشاهده می باشد. در هیچ‌کدام از ضرایب سطح معنی دار مشاهده نمی شود و همبستگی معکوس می باشد (جدول ۳).

جدول ۳: همبستگی بین میزان SPI و شوری آب زیرزمینی دشت یزد - اردکان بر مبنای نمره Z و نیز با تأخیر یک ساله دوره (۱۳۹۱- ۱۳۷۵)

نمره Z سال بعد	SPI و شوری بر مبنای نمره Z	SPI و شوری بر مبنای نمره Z سال پعد	ضرایب همبستگی
-۰/۱۸۴	-۰/۱۰۶	پیرسون	
-۰/۲۲۹	-۰/۳۷	من-کنдал	
-۰/۳۰۰	-۰/۱۲۸	اسپرمن	

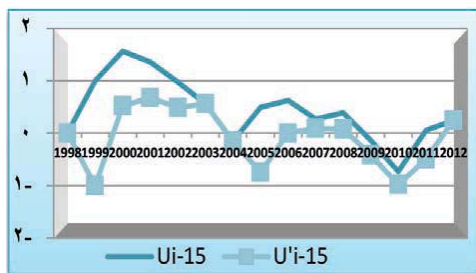
در بررسی آماره من-کنдал بارش و میزان شوری آب، برای هر ایستگاه بارشی از نزدیکترین چاههایی که شوری آن سنجیده شده به عنوان نمونه استفاده شده است. به طور مثال ایستگاه هواشناسی یزد و فهرج به سبب نزدیکی و

است (نگاره ۴). بارش ایستگاه فهرج دارای نوسان و از سال ۲۰۰۸ به بعد با روند منفی و از سال ۲۰۱۰ تا کنون روند مثبت داشته است (نگاره ۵). شوری باقري فهرج، با شبیب بسیار زیاد افزایش و از سال ۲۰۱۰ به بعد کاهش قابل ملاحظه‌ای یافته است (نگاره ۶).

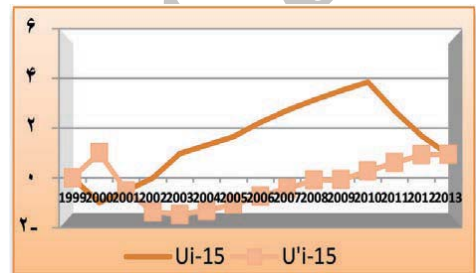
برای تعیین نوع و زمان تغییر در سری‌های زمانی از آزمون گرافیکی من-کندال استفاده شده است. نتایج حاصل از تحلیل نمودارهای گرافیکی برای ایستگاه‌های منتخب بارش و آب زیرزمینی در جدول‌های ۴، ۵ و ۶ ذکر گردیده است. در این پژوهش وجود روند آرام با حرف T، تغییر ناگهانی در محل تقاطع منحنی‌های U و 'U' با حرف C مشخص شده است. همچنین حرف دوم I برای افزایش و D برای کاهش روند به کار برده شده است.

در سری داده‌های بلند مدت ۴۵ ساله (۱۳۴۶ تا ۱۳۹۱) ایستگاه‌های جدول ۴ به جز ایستگاه حاجی آباد، روند افزایشی وجود داشته است. همچنین در ایستگاه اردکان

نیز روند خاصی مشاهده نمی‌شود. تغییرات بارش در بقیه نقاط از نوع کاهشی می‌باشد. همچنانکه قبل اشاره شد، برای مقایسه بهتر بارش و آب زیرزمینی، چاههای نزدیک به هر ایستگاه هواشناسی انتخاب گردید و تغییرات آنها مورد بررسی قرار گرفت. به طور مثال ایستگاه یزد تا سال ۲۰۱۱ روند منفی را طی نموده است. در حالی که در بررسی نزدیکترین چاههای اطراف آن، کارخانه افشار و سکنایی ابرندآباد تا ۲۰۱۰ و ۲۰۱۱ روند مثبت را تجربه نمودند، که اثر کمبود بارش روی شوری را اگر چه نمی‌توان تنها علت جدول ۴: نوع و زمان تغییرات سالانه بارش بر اساس نمودارهای گرافیکی من-کندال در دوره بلند مدت ایستگاه‌های دشت یزد - اردکان.



نگاره ۵: روند بارش کوتاه مدت ایستگاه هواشناسی فهرج



نگاره ۶: روند شوری آب زیرزمینی باقري فهرج

در ایستگاه یزد روند از سال ۲۰۰۲ شروع شده و تا سال ۲۰۱۱ با روند کاهشی ادامه یافته است و در سال ۲۰۱۱ افزایش محسوسی را در روند بارش ملاحظه می‌کنیم (نگاره ۳). کیفیت شوری آب زیرزمینی کارخانه افشار از سال ۲۰۰۰ به بعد به طور قابل ملاحظه‌ای روند افزایشی داشته تا سال ۲۰۰۴ با تغییر شبیب جهشی با روند مثبت روبرو بوده و در سال ۲۰۱۰ به بعد تاکنون این روند ثابت مانده

جدول ۴: نوع و زمان تغییرات سالانه بارش بر اساس نمودارهای گرافیکی من-کندال در دوره بلند مدت ایستگاه‌های دشت

سری زمانی	ایستگاه						
	اردکان	خویدک	حاجی آباد	حسین آباد	مزرعه آقا	مزرعه نو	یزد
CI 1973	CD 1970	CD 1911	CD 1971	CD 1976	CI 1970	TD 2002	
CI 1979	CI 1972	CI 1973	CI 1976	CI 1988	CI 1986	TI 2009	
CD 1986	TD 2002	CD 1980	TD 2001	CD 2002	CD 1994	CI 2011	۴۵ ساله
CII 1993	CD 2010	TI 1987	CD 2011	CD 2011			
CI 2011	CI 2002						

فصلنامه علمی - پژوهشی اطلاعات جغرافیایی (GMR)

تحلیل اثرات خشکسالی‌های اقلیمی اخیر بر میزان ... / ۱۸۷

جدول ۵: نوع و زمان تغییرات سالانه بارش بر اساس نمودارهای گرافیکی من کندال در دوره کوتاه مدت ایستگاه‌های منتخب دشت پزد - اردکان

سری زمانی	ایستگاه	بزد	حاجی آباد	خویدک	اشکذر	چاه افضل	فهرج
۱۵ ساله		TD 2002 CD 2005 CI 2011 CD 2012	CI 2000 TI 2002	TD2000 TD2006 TI 2010	TD 1999 TD 2008 TI 2010	TD 2003 CI 2010	TD 2004 TI 2009 CI 2011
سری زمانی	ایستگاه	گردکوه	خضرآباد	خورمیز	میبد	مهرباز	طررجان
۱۵ ساله		TD 2007 TI 2010 CI 2009	CI 2000 CD 2003 TI 2006 TD 2008 CI 2011	TD2002 CD2004 CI 2008 CD2005 TI 2011	TD 2002 CD 2006 CI 2010	TD 2001 TI 2004	TD2002 CI 2007 TI 2010

جدول ۶: نوع و زمان تغییرات سالانه شوری آب زیرزمینی بر اساس نمودارهای گرافیکی من کندال در چاه‌های منتخب دشت پزد - اردکان

سری زمانی	محل	اکرمیه	کارخانه افشار احرار	نوهنزا	مزرعه استادان	مهرجرد میبد	علی آباد دشتی
۱۵ ساله		TI 2001 TI 2010	TI 2000 CI 2002 CI 2004 TD 2010	TC 2003	TD 2002 TD 2009 TD 2012	TI 2004 TD 2011	TD 2002 TI 2007
سری زمانی	محل	عشرت آباد میبد	عیش آباد اردکان	غربالیز	وااعظی	قطب آباد اردکان	شیرین زارچ
۱۵ ساله		TD 2002 CD 2003 TI 2007	TD 2003 TD 2009 TI 2010	CD 2001 CD 2006 CD 2008 TI 2010	TI 2002 TD 2004 TI 2007	TD 2000 CI 2001 CI 2003 TD 2007	TI 2006 CI 2007 CD 2010

ادامه جدول ۶:

سری زمانی	محل	سکنایی ابرند آباد	کارخانه سیمان	ذوب روی	مزرعه حاجی عبدالله	حسن آباد مهرباز	حسین آباد ریسمانی	حضر آباد
۱۵ ساله		TI 2000 TD 2010	CI 2002 TD 2004 CI 2009 TD 2010	TD 2000 CI 2005 TI 2010	TD 2002 TI 2006 TD 2011	TD 2003 CD 2003 TI 2006 CD 2008 CI 2010 TD 2011	TI 2000 TI 2006 CI 2013	CD 2003 TI 2006 CI 2013
سری زمانی	محل	خویدک	باقری فهرج	بغدادآباد مهرباز	پاگنده اردکان	چهاربازار اردکان	قند هاری	ملت زارچ
۱۵ ساله		TI 2002	CI 2001 TD 2010	TD2002 CD 2008	TD 2002 TD 2006	CD 2001 TI 2007 TD 2011	TD 2003	TI 2002 TD 2010

جدول ۷: مقادیر شاخص بارش استاندارد در مقیاس زمانی بلند مدت ۴۵ ساله در دشت یزد - اردکان

سال	۱۳۴۶	۱۳۴۷	۱۳۴۸	۱۳۴۹	۱۳۵۰	۱۳۵۱	۱۳۵۲	۱۳۵۳	۱۳۵۴
میانگین خشکسالی دشت	۰/۴	-۰/۴	-۰/۴	۱/۰	-۰/۳	-۰/۶	-۱/۲	۰/۳	۰/۷
سال	۱۳۵۵	۱۳۵۶	۱۳۵۷	۱۳۵۸	۱۳۵۹	۱۳۶۰	۱۳۶۱	۱۳۶۲	۱۳۶۳
میانگین خشکسالی دشت	۲/۳	-۰/۴	۰/۴	-۰/۵	-۰/۴	-۰/۵	۰/۴	-۰/۴	۰/۱
سال	۱۳۶۴	۱۳۶۵	۱۳۶۶	۱۳۶۷	۱۳۶۸	۱۳۶۹	۱۳۷۰	۱۳۷۱	۱۳۷۲
میانگین خشکسالی دشت	۰/۴	-۰/۲	۱/۱	۰/۳	۰/۱	-۰/۶	-۱/۰	۰/۲	-۰/۴
سال	۱۳۷۳	۱۳۷۴	۱۳۷۵	۱۳۷۶	۱۳۷۷	۱۳۷۸	۱۳۷۹	۱۳۸۰	۱۳۸۱
میانگین خشکسالی دشت	۰/۹	-۰/۳	-۰/۱	-۰/۰	-۰/۹	۱/۳	-۰/۴	-۰/۴	۰/۳
سال	۱۳۸۲	۱۳۸۳	۱۳۸۴	۱۳۸۵	۱۳۸۶	۱۳۸۷	۱۳۸۸	۱۳۸۹	۱۳۹۰
میانگین خشکسالی دشت	۰/۲	-۰/۳	۰/۱	-۰/۵	-۰/۲	-۰/۰	-۰/۳	-۰/۸	-۰/۸
سال	۱۳۹۱	-	-	-	-	-	-	-	-
میانگین خشکسالی دشت	-۰/۱	-۰/۱	-	-	-	-	-	-	-

جدول ۸: مقادیر شاخص بارش استاندارد در مقیاس زمانی کوتاه ۱۷ ساله در دشت یزد - اردکان.

سال	۱۳۷۵	۱۳۷۶	۱۳۷۷	۱۳۷۸	۱۳۷۹	۱۳۸۰	۱۳۸۱	۱۳۸۲	۱۳۸۳
میانگین خشکسالی دشت	۰/۴	۱/۶	-۱/۲	-۰/۳	-۰/۲	۰/۱	۰/۷	۰/۰	-۰/۷
سال	۱۳۸۴	۱۳۸۵	۱۳۸۶	۱۳۸۷	۱۳۸۸	۱۳۸۹	۱۳۹۰	۱۳۹۱	-
میانگین خشکسالی دشت	۰/۰	-۰/۵	-۰/۰	-۰/۴	-۰/۴	-۰/۴	-۰/۴	-۰/۲	-

(IDW)، نقشه‌های شدت خشکسالی و روش کریجینگ، (ArcGIS) نرم‌افزار آب زیرزمینی در محیط ایستگاه‌ها تا سال ۲۰۱۰ و ۲۰۱۱ روند منفی و با بارش قابل ملاحظه‌ای که در این سال‌ها رخ داده است روند شوری نیز کمتر یا ثابت مانده است. در ادامه با استفاده از نرم افزار اکسل شاخص استاندارد شده بارش برای داده‌های بارش دشت مورد مطالعه محاسبه شد و اقدام به بررسی شدت خشکسالی در سطح دشت یزد - اردکان شد (جدول‌های ۷ و ۸).

در مرحله بعد با استفاده از نرم افزار SPSS و آزمون کولموگروف- اسمیرنوف، نرمال بودن داده‌ها مورد بررسی قرار گرفت. سپس مقادیر شاخص بارش استاندارد به صورت لایه نقطه‌ای در محیط + GS و GIS وارد گردید. پس از تعیین بهترین روش میانیابی براساس فاکتور خطای تعمیم خشکسالی‌های نقطه‌ای به منطقه‌ای و با استفاده از روش‌های درونیابی کوکریجینگ و عکس فاصله وزنی (نگاره‌های ۷ الی ۲۲).

فصلنامه علمی - پژوهشی اطلاعات جغرافیایی (ESRI)
تحلیل اثرات خشکسالی‌های اقلیمی اخیر بر میزان ... / ۱۸۹

Model	Nugget Co	Sill Co + C	Range Parameter Ao	Effective Range	Proportion C/(Co+C)	r ²	RSS
<input checked="" type="radio"/> Spherical	0.1199	1.0440	30700.0001	30700.0000	0.886	0.506	0.430
<input type="radio"/> Exponential	0.0010	1.0520	10600.0000	31800.0000	0.999	0.476	0.463
<input type="radio"/> Linear	0.6281	1.0082	56293.2771	56293.2778	0.422	0.157	1.30
<input type="radio"/> Linear to sill	0.6270	1.6970	131000.0000	31000.0000	0.631	0.157	0.733
<input type="radio"/> Gaussian	0.2580	1.0430	14700.0001	25461.1469	0.753	0.504	0.431

نگاره ۱۱: ارزیابی مدل‌های مختلف واریوگرام
 (شوری سال ۱۳۷۷)

Model	Nugget Co	Sill Co + C	Range Parameter Ao	Effective Range	Proportion C/(Co+C)	r ²	RSS
<input checked="" type="radio"/> Spherical	100.00000	311000.0001	101800.0001	01800.0000	1.000	0.967	2.377E+03
<input type="radio"/> Exponential	100.00000	311200.0001	47500.0000	42500.0000	1.000	0.981	4.523E+03
<input type="radio"/> Linear	100.00000	311200.0001	75400.0000	75400.0000	1.000	0.942	2.744E+03
<input type="radio"/> Linear to sill	100.00000	311200.0001	75400.0000	75400.0000	1.000	0.942	2.744E+03
<input checked="" type="radio"/> Gaussian	100.00000	256300.0001	34500.0001	59755.7529	1.000	0.995	2.972E+03

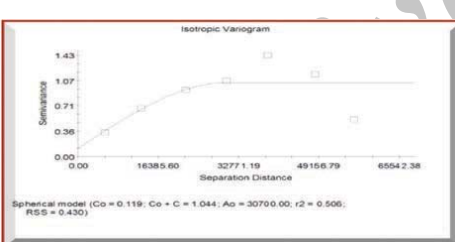
نگاره ۷: ارزیابی مدل‌های مختلف واریوگرام
 (خشکسالی سال ۱۳۷۶)

Model	Nugget Co	Sill Co + C	Range Parameter Ao	Effective Range	Proportion C/(Co+C)	r ²	RSS
<input checked="" type="radio"/> Spherical	0.6160	1.2330	129700.0001	29700.0000	0.500	0.116	0.790
<input checked="" type="radio"/> Exponential	0.0010	0.9790	8900.0000	26700.0000	0.999	0.406	0.529
<input type="radio"/> Linear	0.6800	1.0161	67493.248	67493.2483	0.323	0.101	1.16
<input type="radio"/> Linear to sill	0.6800	1.4510	153300.0001	53300.0000	0.531	0.101	0.797
<input type="radio"/> Gaussian	0.7910	1.5830	131400.0001	27591.4761	0.500	0.032	0.858

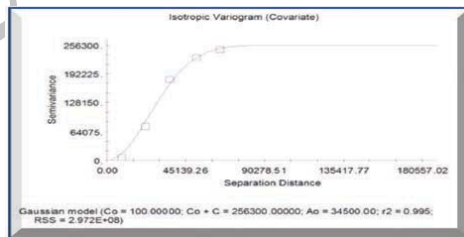
نگاره ۱۲: ارزیابی مدل‌های مختلف واریوگرام
 (خشکسالی سال ۱۳۷۷)

Model	Nugget Co	Sill Co + C	Range Parameter Ao	Effective Range	Proportion C/(Co+C)	r ²	RSS
<input checked="" type="radio"/> Spherical	100.00000	202900.0001	69900.0000	69900.0000	1.000	0.854	3.310E+03
<input type="radio"/> Exponential	100.00000	210200.0001	28500.0000	85500.0000	1.000	0.877	5.774E+03
<input type="radio"/> Linear	119515.051	229952.851	143013.63	43013.6321	0.459	0.291	2.446E+10
<input type="radio"/> Linear to sill	120800.000	372300.0001	360800.0001	60800.0000	0.676	0.291	1.142E+10
<input checked="" type="radio"/> Gaussian	100.00000	264700.0001	298000.0000	50229.4734	1.000	0.858	2.503E+03

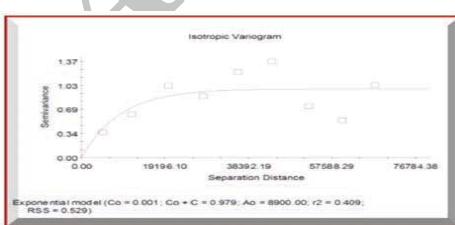
نگاره ۸: ارزیابی مدل‌های مختلف واریوگرام
 (خشکسالی سال ۱۳۷۷)



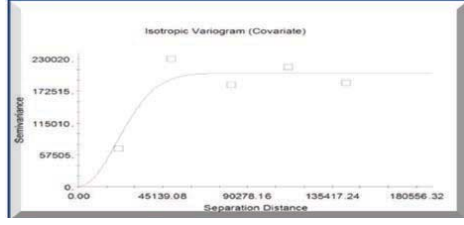
نگاره ۱۳: مدل واریوگرامی مناسب
 (خشکسالی سال ۱۳۷۶)



نگاره ۹: مدل واریوگرامی مناسب
 (خشکسالی سال ۱۳۷۶)



نگاره ۱۴: مدل واریوگرامی مناسب
 (خشکسالی سال ۱۳۷۷)



نگاره ۱۰: مدل واریوگرامی مناسب
 (خشکسالی سال ۱۳۷۷)

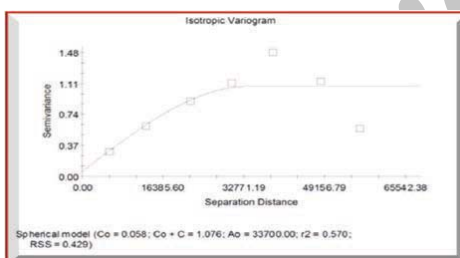
Model	Nugget Co	Sill Co + C	Range Parameter Ao	Effective Range	Proportion C/(Co+C)	r2	RSS
<input checked="" type="radio"/> Spherical	0.0590	1.0760	33700.0000	33700.0000	0.946	0.570	0.429
<input type="radio"/> Exponential	0.0010	1.0890	12300.0000	36900.0000	0.999	0.518	0.492
<input type="radio"/> Linear	0.5640	1.1120	56293.2778	56293.2778	0.502	0.210	1.66
<input type="radio"/> Linear to sill	0.5710	1.8720	131200.0000	31200.0000	0.695	0.210	0.788
<input type="radio"/> Gaussian	0.2070	1.0740	16200.0000	28059.2231	0.807	0.565	0.434

Model	Nugget Co	Sill Co + C	Range Parameter Ao	Effective Range	Proportion C/(Co+C)	r2	RSS
<input checked="" type="radio"/> Spherical	0.007700	0.136800	411000.0000	1100.0000	0.944	0.982	3.350E-05
<input type="radio"/> Exponential	0.005300	0.222600	400200.0000	00600.0000	0.972	0.974	4.744E-05
<input type="radio"/> Linear	0.000245	0.071142	138831.631	38831.631	0.884	0.986	8.259E-03
<input type="radio"/> Linear to sill	0.008400	0.171400	361000.0000	61000.0000	0.951	0.986	2.573E-05
<input type="radio"/> Gaussian	0.020500	0.203500	334700.0001	06512.3245	0.899	0.996	6.445E-06

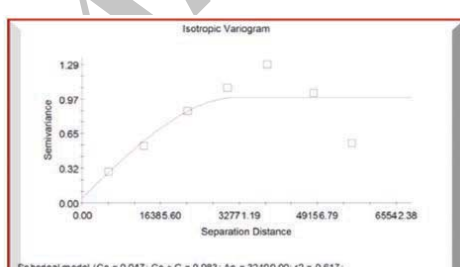
نگاره ۱۹: ارزیابی مدل‌های مختلف واریوگرام
 (شوری سال ۱۳۸۹)

Model	Nugget Co	Sill Co + C	Range Parameter Ao	Effective Range	Proportion C/(Co+C)	r2	RSS
<input checked="" type="radio"/> Spherical	0.0470	0.9830	32400.0000	32400.0000	0.952	0.617	0.289
<input type="radio"/> Exponential	0.0010	0.9950	12000.0000	36000.0000	0.999	0.555	0.344
<input type="radio"/> Linear	0.5285	1.0355	56293.2778	56293.2778	0.490	0.222	1.28
<input type="radio"/> Linear to sill	0.5360	1.6930	131200.0000	31200.0000	0.683	0.222	0.588
<input type="radio"/> Gaussian	0.1990	0.9840	15900.0000	27539.6078	0.798	0.611	0.294

نگاره ۲۰: ارزیابی مدل‌های مختلف واریوگرام (شوری سال ۱۳۹۱)



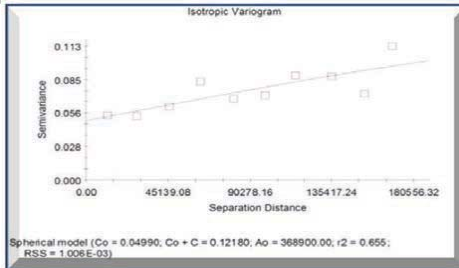
نگاره ۲۱: مدل واریوگرامی مناسب (شوری سال ۱۳۸۹)



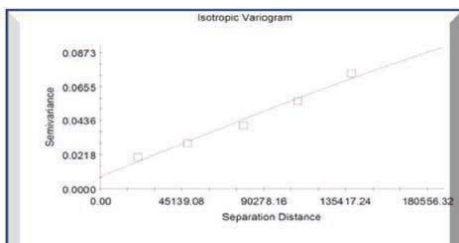
نگاره ۲۲: مدل واریوگرامی مناسب (شوری سال ۱۳۹۱)

Model	Nugget Co	Sill Co + C	Range Parameter Ao	Effective Range	Proportion C/(Co+C)	r2	RSS
<input checked="" type="radio"/> Spherical	0.049900	0.121800	368900.0001	68900.0000	0.590	0.655	1.006E-02
<input type="radio"/> Exponential	0.049000	0.180000	387500.0001	62500.0000	0.728	0.654	1.008E-02
<input type="radio"/> Linear	0.050607	0.096657	168333.23*	68333.2348	0.476	0.655	8.985E-03
<input type="radio"/> Linear to sill	0.050800	0.148600	359600.0001	59600.0000	0.658	0.656	9.938E-04
<input type="radio"/> Gaussian	0.059400	0.268800	362200.0001	27348.8025	0.779	0.638	1.056E-03

نگاره ۲۳: ارزیابی مدل‌های مختلف واریوگرام
 (خشکسالی ۱۳۹۰)

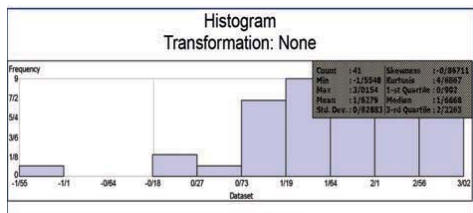


نگاره ۲۴: واریوگرامی مناسب (خشکسالی سال ۱۳۸۸)

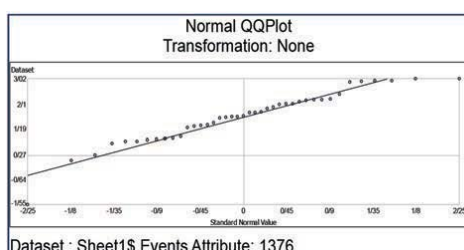


نگاره ۲۵: مدل واریوگرامی مناسب (خشکسالی سال ۱۳۹۰)

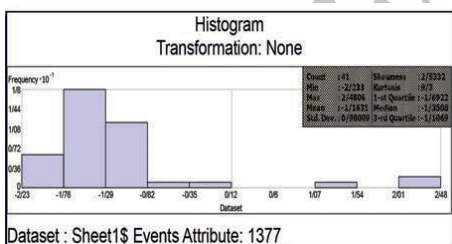
فصلنامه علمی - پژوهشی اطلاعات جغرافیایی (ESR)
تحلیل اثرات خشکسالی‌های اقلیمی اخیر بر میزان ... / ۱۹۱



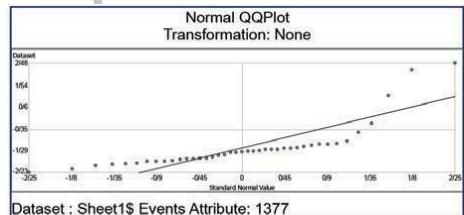
نگاره ۲۳: هیستوگرام داده‌ها جهت تحلیل آماری SPI (سال ۱۳۷۶)



نگاره ۲۴: نمودار نرمالیزه داده‌های توصیفی SPI (سال ۱۳۷۶)



نگاره ۲۵: هیستوگرام داده‌ها جهت تحلیل آماری SPI (سال ۱۳۷۷)



نگاره ۲۶: نمودار نرمالیزه داده‌های توصیفی SPI (سال ۱۳۷۷)

روش‌های درون‌یابی برای ارائه بهترین برازش منطقه‌ای با توجه به توزیع نرمال داده‌های خام استفاده می‌شود. کلیه داده‌های خام در صورت داشتن چولگی بایستی با استفاده از توابع تحلیلی تبدیل به نرمال شوند.

اizar هیستوگرام در توابع توزیع یک متغیره برای هر خصوصیت جهت برازش نرمال بودن داده‌ها به کار برده می‌شود. این نمودار می‌تواند نقاط پرت را در یک توزیع احتمالاتی نشان دهد و با انتخاب و حذف آن توزیع بهتری را برای پهنه‌بندی در اختیار قرار دهد (کاردان مقدم و خاشعی، ۱۳۹۱: ۴۲).

نرمال بودن داده‌ها شرط استفاده از روش زمین آمار است. با بررسی دو روش هیستوگرام و QQPlot، مشخص شد که داده‌های شوری از توزیع نرمال تعیت نمی‌کنند. به همین دلیل داده‌ها به لگاریتم داده‌ها منتقل گردید تا این طریق داده‌ها از توزیع نرمال تعیت کنند. همانطور که هیستوگرام لگاریتم داده‌ها نشان می‌دهد، میانگین و میانه داده‌ها بسیار نزدیک می‌باشد.

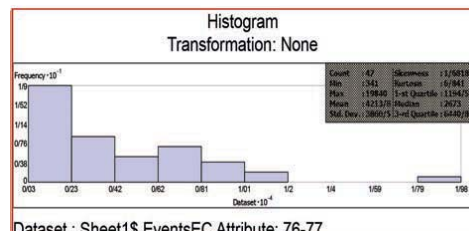
به عنوان نمونه میانگین خشکسالی دشت در سال ۱۳۷۶ برابر با ۱/۶۲ و میانه آن نیز برابر با ۱/۶۶ بوده است). بنابراین داده‌ها با تبدیل لگاریتمی به توزیع نرمال تبدیل شده و از این طریق شرط نرمال بودن توزیع داده‌ها برای استفاده از روش زمین آمار صورت پذیرفت.

برای مقایسه توزیع فراوانی داده‌ها با توزیع نرمال استاندارد از منحنی NormalQQPlot استفاده می‌شود. در این روش با توجه به خط راست ترسیم شده، نرمال بودن داده‌ها بر اساس فاصله با این خط سنجیده می‌شود.

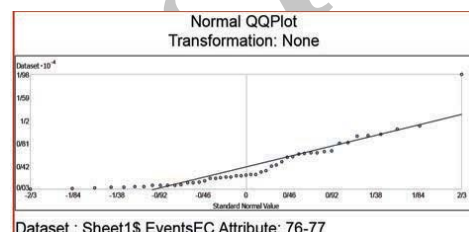
بنابراین در پژوهش حاضر، بر حسب منحنی NormalQQPlot تقریباً داده‌های شاخص خشکسالی ما در سال‌های مورد مطالعه نرمال بوده ولی در سال ۱۳۷۷ به نظر می‌رسد که نسبت به بقیه سال‌ها تفاوت دارد و نزدیک به نرمال است (نگاره‌های ۲۳ الی ۲۶).

همانطور که در هیستوگرام‌های مورد مطالعه مشاهده می‌گردد، داده‌های spi نرمال می‌باشد ولی داده‌های کیفیت آب زیرزمینی (ec) نرمال نبوده که برای ترسیم واریوگرام و نقشه‌ها با استفاده از نرم‌افزارها (+GS و GIS) به لوگ نرمال تبدیل شد. میانیابی به روش کریجینگ و کوکریجینگ و پس از آن روش عکس فاصله وزنی، نیم تغییرنامها نقش مهمی در ارزیابی دقیق میانیابی دارند و افزون بر تعیین میانگین خطاهای توزیع تحلیل آنها نیز قابل بررسی است و به کمک آنها می‌توان بخش‌های با خطای بالا را تشخیص داد. لذا آنها می‌توان بخش‌های با خطاهای احتمالی را کاهش داده و پهنگ‌بندی با این روش، خطاهای احتمالی را کاهش داده و نقشه‌های با دقت بالایی را تولید می‌کند. با توجه به برآورده بهترین مدل و کمترین خطای که جدول‌های آن قبلًا برای هر سال ارائه شد به ترسیم نقشه‌های پهنگ‌بندی خشکسالی و آب پرداخته شده است (نگاره‌های ۳۱ الی ۳۷).

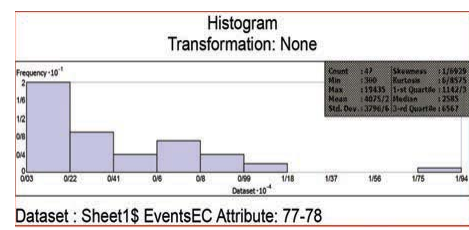
برای ترسیم نقشه‌های خشکسالی از سال‌های دارای شخص خشکسالی بارش استاندارد، استفاده شد و کلاس‌های مختلف شدت خشکسالی در سطح داشت یزد-اردکان مورد طبقه‌بندی قرار گرفت. در این بررسی سال‌های ۱۳۸۰، ۱۳۷۶ و ۱۳۷۰ به عنوان سال مرتضوب (ترسالی) و سال‌های ۱۳۷۷ و ۱۳۸۹ و ۱۳۸۸، ۱۳۸۳ و ۱۳۸۸ ایامی آماری نرمال یا نزدیک به نرمال بودند. در سال ۱۳۷۶ به عنوان سال مرتضوب، ترسالی متوسط قسمت‌هایی از شمال غرب و نیمه وسیعی از مرکز و جنوب شرق را فرا گرفته و قسمت‌هایی از گوشش شمال شرق تحت پوشش کلاس نرمال دیده می‌شد. در سال ۱۳۷۷ نیز همانطور که در نقشه مشاهده می‌شود خشکسالی شدیدی حکم‌فرماست که نمود کلاس خشکسالی در تمام حوضه بوده است و تنها در گوشش شمال غرب و پهنه کوچکی در مرکز و شمال شرق منطقه خشکسالی خفیف رخ داده است (نگاره ۳۱). در سال ۱۳۸۰ نیز از نظر خشکسالی سال مرتضوب محسوب می‌شود بطوری که بیشترین وسعت منطقه در کلاس نرمال و ترسالی خفیف دیده می‌شود و در گوشش شمال شرق منطقه ترسالی متوسط و در قسمت شمال غرب وسعت کمی را به کلاس



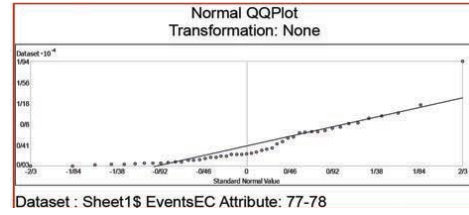
نگاره ۲۷: هیستوگرام داده‌ها جهت تحلیل آماری سوری (۱۳۷۷)



نگاره ۲۸: نمودار نرمالیزه داده‌های توصیفی سوری (۱۳۷۷)

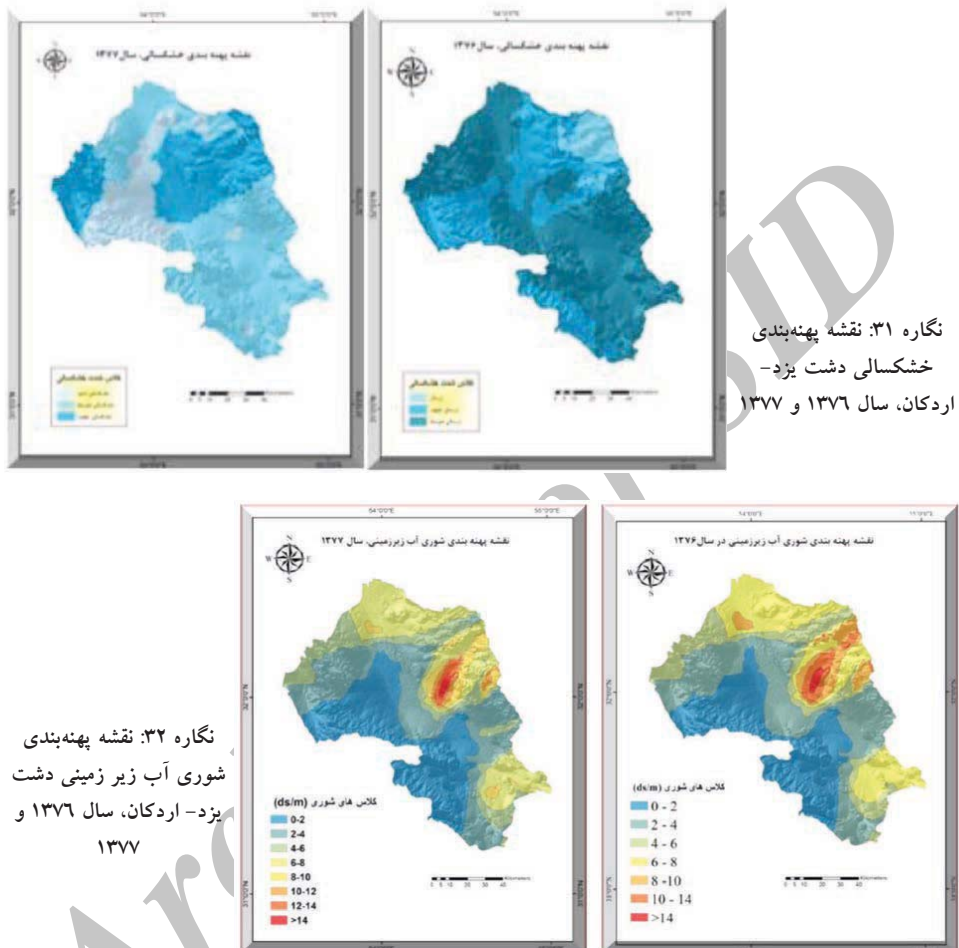


نگاره ۲۹: هیستوگرام داده‌ها جهت تحلیل آماری سوری (۱۳۷۸)



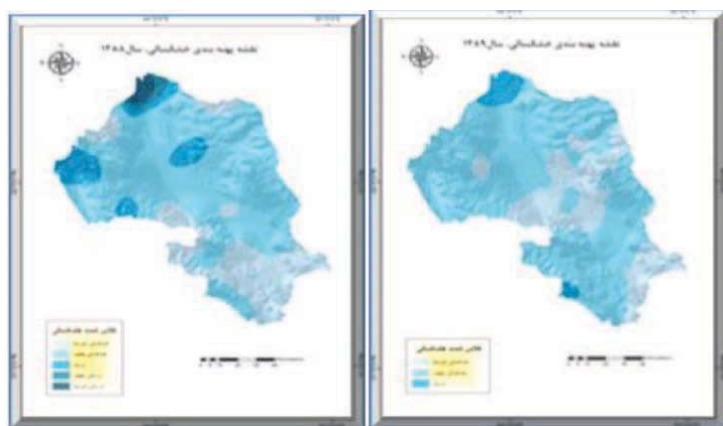
نگاره ۳۰: نمودار نرمالیزه داده‌های توصیفی سوری (۱۳۷۸)

فصلنامه علمی - پژوهشی اطلاعات جغرافیایی (پر) /
تحلیل اثرات خشکسالی‌های اقلیمی اخیر بر میزان ... / ۱۹۳

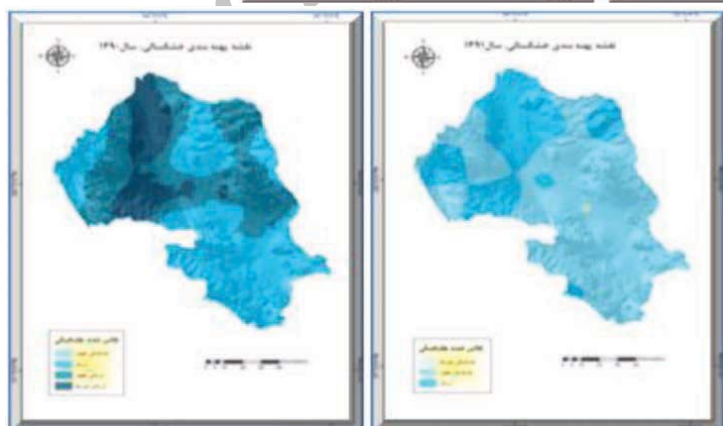
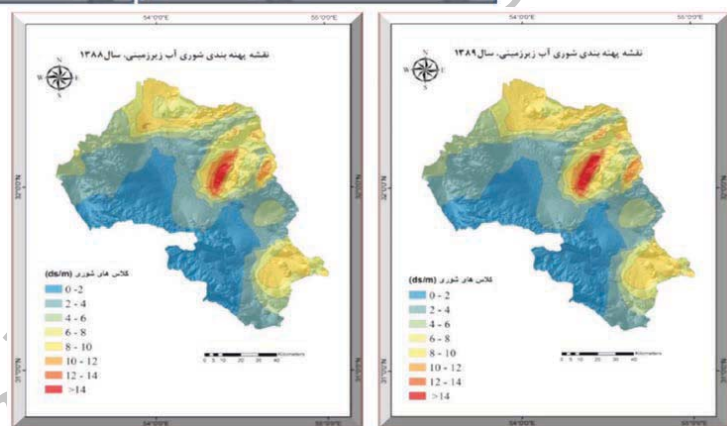


افزایش یافته و تقریباً تمام منطقه تحت سیطره خشکسالی می‌باشد، بجز قسمتی از شمال که وضعیت آن نرمال است (نگاره ۳۳). سال ۱۳۹۰ همانطور که در نقشه ملاحظه شود سال ترسالی و مرطوب به حساب می‌آید که به جز در نیمه جنوبی و قسمت‌های کوچکی از غرب، مرکز، شمال و شمال‌شرق دشت در کلاس ترسالی قرار گرفته‌اند و در سال ۱۳۹۱ دوباره کاهش بارش و بروز خشکسالی در قسمت‌های وسیعی از حوضه رخ داده است (نگاره ۳۵).

خشکسالی خفیف اختصاص داده است. در سال ۱۳۸۸ نیز شاهد نوسانات زیادی در کلاس‌های خشکسالی این منطقه از خشکسالی متوسط و خفیف گرفته تا ترسالی خفیف و متوسط می‌باشیم، ولی وسعت زیاد خشکسالی در سرتاسر این ناحیه و وسعت ناچیز ترسالی فقط در شمال این حوضه (منطقه چاه افضل) بیانگر حاکمیت خشکسالی در این سال در دشت يزد-اردکان می‌باشد. در سال ۱۳۸۹ در این حوضه شدت خشکسالی‌ها



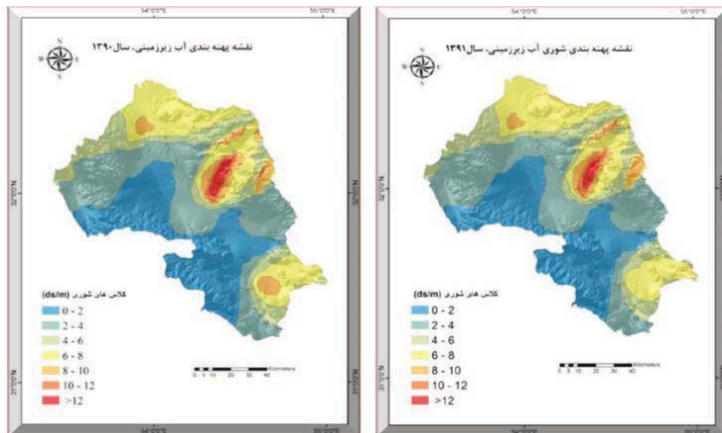
نگاره ۳۳: نقشه پهنه‌بندی خشکسالی دشت یزد-اردکان، سال ۱۳۸۸ و ۱۳۸۹



فصلنامه علمی - پژوهشی اطلاعات جغرافیایی (پر)
تحلیل اثرات خشکسالی‌های اقلیمی اخیر بر میزان ... / ۱۹۵

همان طور که در جداول های ۹ و ۱۰ اقبال مشاهده است، سال ۱۳۸۸ با ۶۵ درصد مساحت بیشترین وسعت با خشکسالی خفیف بوده، در حالی که بیشترین کلاس خشکسالی را زخ خشکسالی متوسط گرفته تا ترسالی متوسط در این سال می توان مشاهده نمود. در سال ۱۳۸۹ نیز خشکسالی خفیف بیش از ۷۵ درصد وسعت مشاهده می شود، در حالی که کلاس ترسالی را در این سال نداشته است.

در سال ۱۳۷۶ تمام حوضه فاقد خشکسالی بوده و ترسالی متوسط وسعت زیادی را به خود اختصاص داده است. در حالی که یک سال بعد یعنی سال ۱۳۷۷ خشکسالی شدیدی اتفاق افتاده و تمام حوضه تحت سیطره خشکسالی شدید، متوسط و خفیف) قرار گرفته است.



نگاره ۳۶ نقشه پهنه‌بندی
شوری آب زیر زمینی دشت
یزد-اردکان، سال ۱۳۹۰ و
۱۳۹۱

جدول ۹: مساحت و درصد گسترش وضعیت خشکسالی در بازه زمانی سالانه بر اساس شاخص بارش استاندارد دشت یزد-اردکان

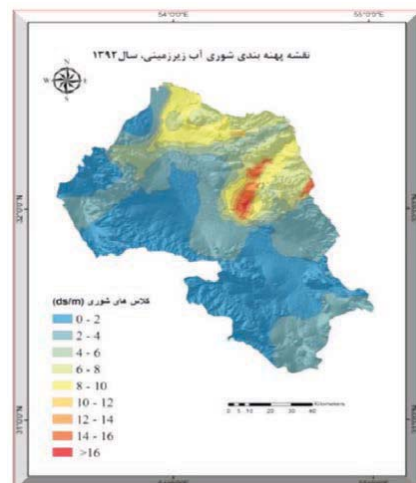
سال	واحد	خشکسالی شدید	خشکسالی متوسط	خشکسالی خفیف	نرمال	ترسالی خفیف	ترسالی متوسط	ترسالی شدید
۱۳۷۶	کیلومتر مربع	۰	۷۲۰۶/۵۳	۴۷۸۸/۴۹۳	۶۷۴/۱	۰	۰	۰
	درصد	۰	۶۱/۷	۳۲/۵	۵/۸	۰	۰	۰
۱۳۷۷	کیلومتر مربع	۱۹۵۴/۸	۳۳۲۱/۳	۶۳۹۲/۹	۰	۰	۰	۰
	درصد	۱۶/۶	۰	۰	۲۸/۴	۵۵	۰	۰
۱۳۸۸	کیلومتر مربع	۰	۱۶۲/۷	۱۴۸/۸	۱۰۰۰/۷	۷۶۲۵/۹	۲۷۳۰/۸	۰
	درصد	۰	۱/۴	۱/۳	۸/۶	۶۵/۳	۲۳/۴	۰
۱۳۸۹	کیلومتر مربع	۰	۰	۰	۴۳۸/۵	۸۴۶۸/۳	۲۷۳۲/۳	۰
	درصد	۰	۰	۰	۳/۸	۷۲/۵	۲۳/۷	۰
۱۳۹۰	کیلومتر مربع	۰	۱۷۶۲/۷	۴۱۸۰/۹	۵۶۶۰/۸	۶۴/۶	۰	۰
	درصد	۰	۱۵/۱	۳۵/۹	۴۸/۵	۰/۵	۰	۰
۱۳۹۱	کیلومتر مربع	۰	۰	۰	۳۵۰/۶	۸۱۴۳/۴	۲۴	۰
	درصد	۰	۰	۰	۳۰	۶۹/۸	۰/۲	۰

جدول ۱۰: درصد مساحت اختصاص یافته به هر یک از عرصه‌های آب زیرزمینی شوری کم تا متوسط، شوری زیاد، شوری خیلی زیاد و شوری فوق العاده زیاد در دشت یزد - اردکان

سال	کلاس	واحد مساحت	شوری کم تا متوسط	شوری زیاد	شوری خیلی زیاد	شوری فوق العاده زیاد	۱۰ >	۸ - ۱۰	۶ - ۸	۴ - ۶	۲ - ۴
۱۳۷۶	کیلومتر مربع	۳۱۸۵/۰	۳۴۷۸/۸	۱۶۸۰/۱	۲۳۳۶/۶	۶۰۹/۹	۳۴۶/۴				
۱۳۷۷	درصد	۲۷	۳۲۳۴/۴	۱۶۷۸/۳	۲۴۰۵/۱	۵۴۹/۶	۳۱۵/۳				
۱۳۸۸	کیلومتر مربع	۳۴۳۶/۲	۳۱۴۶/۵	۱۶۶۹/۲	۱۶۵۲/۲	۱۵۴۳/۹	۳۴۲/۸				
۱۳۸۹	درصد	۲۹/۴	۲۷/۷	۱۶/۴	۲۱/۰	۴/۷	۲/۷				
۱۳۹۰	کیلومتر مربع	۳۲۲۱/۲	۳۱۶۹/۹	۱۷۵۰/۹	۱۲۶۷/۰	۱۸۶۱/۴	۳۹۹/۵				
۱۳۹۱	درصد	۲۷/۶	۲۷/۲	۱۵/۰	۱۰/۸	۱۶/۰	۳/۴				
۱۳۹۲	کیلومتر مربع	۳۳۵۴/۹	۳۵۵۶/۱	۱۷۰۶/۶	۲۴۴۷/۲	۳۹۷/۱	۲۳۳/۰				
	درصد	۲۸/۸	۲۸/۹	۱۴/۱	۲۰/۸	۴/۸	۲/۰				
	کیلومتر مربع	۴۷۵۷/۸	۳۵۸۷/۰	۹۱۰/۲	۱۲۰۰/۵	۸۷۸/۷	۳۳۴/۶				
	درصد	۴۰/۸	۳۰/۷	۷/۸	۱۰/۳	۷/۵	۲/۹				

سال ۱۳۹۰ بیشترین وسعت با طبقه‌بندی کلاس نرمال و ترسالی خفیف بوده است و درصدی از وسعت نیز ترسالی متوسط را نشان می‌دهد. در نهایت در سال ۱۳۹۱ خشکسالی خفیفی در سطح وسیعی از حوضه رخ می‌دهد، که درصد قابل توجهی نیز به طبقه‌بندی کلاس نرمال اختصاص یافته است. به منظور تعیین وسعت و درصد مساحت اختصاص یافته به هر یک از عرصه‌های خشکسالی و آب زیرزمینی شور و شیرین دشت یزد-اردکان، در نرم افزار GIS مساحت را محاسبه و برای تعیین درصد به محیط اکسل باز خوانی شد (جدول ۹ و ۱۰) و سپس نمودارهای درصد مساحت شوری ترسیم شد (نگاره ۳۸ و ۳۹).

سال ۱۳۷۶ که سال مرطوب دوره آماری حوضه مورد مطالعه به حساب می‌آید (نگاره ۳۸، ۳۸٪ مساحت ترسالی متوسط)، کمترین وسعت شوری را در کلاس شوری خیلی زیاد و بیشترین مساحت را در طبقه شوری



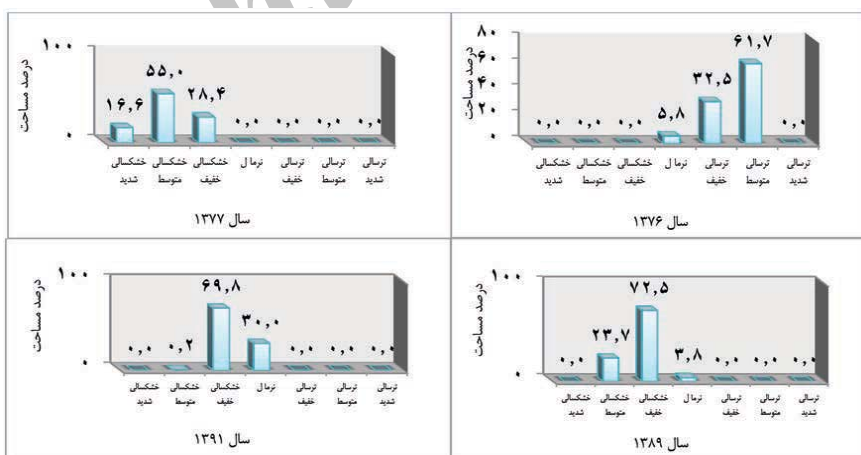
نگاره ۳۷: نقشه پهنه‌بندی شوری آب زیرزمینی دشت یزد-اردکان. سال ۱۳۹۲

فصلنامه علمی - پژوهشی اطلاعات جغرافیایی (سمر)
تحلیل اثرات خشکسالی‌های اقلیمی اخیر بر میزان ... / ۱۹۷

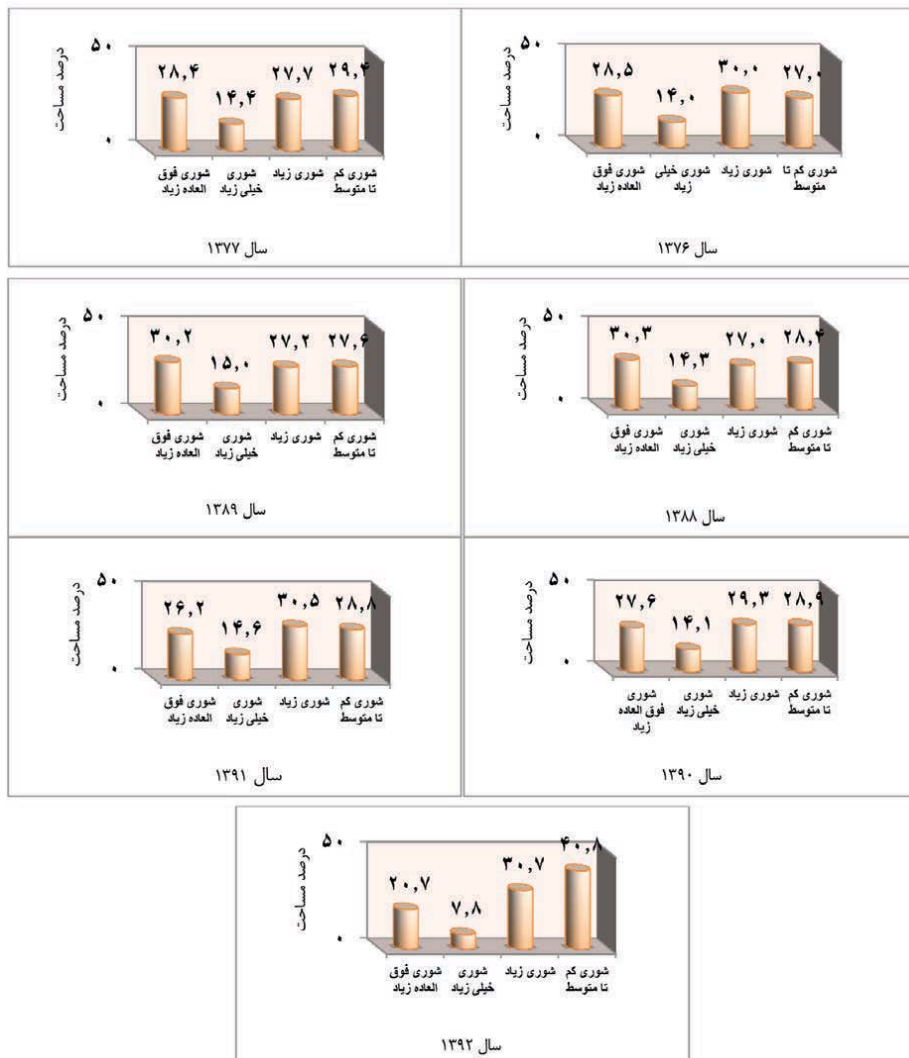
۴- نتیجه‌گیری

وقوع خشکسالی از یک طرف، افزایش تقاضای آب در منطقه و از سوی دیگر کمبود و نیاز به آب را تشیدید می‌نمایند. لذا باستی پایش خشکسالی‌ها و ترسالی‌های آینده را بسیار مهم و در خور توجه از نظر راهبردهای مدیریتی منطقه محسوب نمود. عبور از چنین بحران‌هایی مستلزم مدیریت کارآمد منابع آب در شرایط حاضر و خصوصاً در هنگام بروز خشکسالی‌ها است. معمولاً در چنین ایامی کسری آب منطقه برای تأمین نیازهای اساسی نظیر شرب، از منابع آب زیرزمینی و از طریق افزایش استحصال آب از چاه‌ها انجام می‌شود. لذا در چنین شرایطی موضوع کیفیت آب استحصالی از این چاه‌ها اهمیت دوچندان می‌یابد. آمارهای موجود نشان می‌دهد که در دشت یزد - اردکان کیفیت آب زیرزمینی (هدايت‌الكتريكي) تابعی از میزان بارندگی سالانه (به عنوان مهمترین مشخصه خشکسالی‌های منطقه) است و با کم و زیاد شدن بارش‌های سالانه، کیفیت آب زیرزمینی نیز دستخوش تغییراتی می‌گردد. مسلماً این روند در سال‌های آتی نیز تکرار خواهد شد. در جمع‌بندی کلی آنالیز پارامترهای مورد مطالعه می‌توان اذعان نمود که اقلیم

زیاد به خود اختصاص داده است (نگاره ۳۹). با توجه به نمودارهای مذکور همچنان مشاهده می‌شود در سال ۱۳۷۷ درصد وسعت گروه شوری کم تا متوسط، زیاد شده و از ۲۷ درصد به $\frac{29}{4}$ درصد رسیده است و مساحت منطقه شوری زیاد و فوق العاده زیاد نیز کمتر از سال قبل می‌باشد. این به علت ترسالی سال ۱۳۷۶ بوده که در کاهش شوری مؤثر بوده است. سال ۱۳۸۸ نیز سال خشک به حساب می‌آید و در سال ۱۳۸۹ نیز به دلیل افزایش وسعت شوری زیاد، خیلی زیاد و فوق العاده نسبت به سال قبل تغییرات مساحت‌ها به وضوح قابل مشاهده است. سال ۱۳۹۰ که سال مرطوب می‌باشد وسعت شوری در طبقه کم تا متوسط و شوری زیاد افزایش یافته و در طبقه زیاد و فوق العاده زیاد درصد کمتری را نسبت به سال قبل در برداشته است. سال ۱۳۹۱ بیشترین وسعت را در طبقه شوری زیاد و وسعت طبقه شوری فوق العاده زیاد به مراتب کمتر نشان می‌دهد. در نهایت سال ۱۳۹۲ که آخرین سال آماری مورد مطالعه می‌باشد، دو طبقه اول یعنی شوری کم تا متوسط و شوری زیاد وسعت بیشتری را نشان می‌دهد و وسعت دو طبقه دیگر یعنی شوری فوق العاده زیاد به نسبت سال قبل کمتر می‌باشد.



نگاره ۳۸: نمودارهای درصد مساحت خشکسالی دشت یزد - اردکان سال‌های ۱۳۷۶، ۱۳۷۷، ۱۳۸۹ و ۱۳۹۱



نگاره ۳: نمودارهای درصد مساحت شوری آب زیرزمینی دشت یزد- اردکان سال‌های ۱۳۷۶، ۱۳۸۸ و ۱۳۹۱-۹۲

دشت یزد- اردکان با روند کاهش بارش که یکی از عوامل مهم خشکسالی می‌باشد همراه بوده است. به طوری که تبعات آن سطح و کیفیت منابع آب را نیز تحت تأثیر خود قرار داده است. در این پژوهش مشاهده شده است که خشکسالی‌ها بر شدیدتر تغییر یافته و شوری آن نیز بیشتر شده است.

فصلنامه علمی - پژوهشی اطلاعات جغرافیایی (ستم)
تحلیل اثرات خشکسالی‌های اقلیمی اخیر بر میزان ... / ۱۹۹

امنیت غذایی، مجله علمی تخصصی کشاورزی، سال سی و

یکم، شماره ۲۱۵.

9. Anornu, G.K., Amos Tiereyangn Kabo-bah and M. Anim-Gyampo. 2012. Evaluation of Groundwater Vulnerability in the Densu River Basin of Ghana, American Journal of Human Ecology, 1 (3): 79-86.

10. Blenkinsop S., H. J. Fowler, 2007. Changes in drought frequency, severity and duration for the British Isles projected by the PRUDENCE regional climate models, Journal of Hydrology, 342:50 - 71.

11. Demir Y, Sahin S, Güler M, Cemek B, Günal H and Arslan H, 2009. Spatial variability of depth and salinity of groundwater under irrigated ustifluvents in the Middle Black Sea Region of Turkey, Environ Monit Assess, 158:279–294.

12. Mozafari, Gh. A., Khosravi, Y., Abbasi, E. and Tavakoli F, 2011. Assessment of Geostatistical Methods for Spatial Analysis of SPI and EDI Drought Indices, World Applied Sciences Journal Vol.15, No.4,pp:474-482.

13. Polat, R. 2009. Spatial and temporal assessment of groundwater quality for the nif mountain karstic aquifer. M.Sc. Thesis. Graduate School of Natural and Applied Sciences.

14. Sheffield Eric F. Wood, 2008, projected changes in drought occurrence under future global warming from multi- model, multi- scenario, IPCC AR4 simulations. Clim Dyn J.31, 79-105.

15. Vijay, R., Samal, D.R., and Kumar Mohapatra, P. 2011. GIS Based Identification and Assessment of Groundwater Quality Potential Zones in Puri City, India. Journal of Water Resource and Protection, 3, 440-447.

16. Yazdani, V., Zare Abiyane, H. and Shadmani, M. 2011. Drought Frequency Analysis and Zoning of Iran Using the Standard Precipitation Index and the Geographical Information System, Iranian Journal of water Engineering, Vol. 64, No. 8,pp:31-43.

۵- منابع و مأخذ

۱. بری ابرقویی، حسین، ۱۳۹۳، بررسی اثرات خشکسالی‌های اخیر بر شوری آب زیرزمینی و پیش‌بینی این اثرات در سه دهه آینده، مطالعه موردی: دشت بهادران، فصلنامه بین المللی پژوهشی تحلیلی منابع آب و توسعه، سال دوم، شماره ۱، پیاپی ۴، صص ۱-۱۴.

۲. پورمحمدی، سمانه، ۱۳۸۸، اثرات تغییر اقلیم بر منابع آب و ارائه راهکارهای مدیریتی (مطالعه موردی: حوضه آبخیز منشاد- استان یزد)، هماشی ملی مدیریت بحران آب، دانشگاه آزاد اسلامی واحد مرودشت. صص ۱-۱۱.

۳. چشمی، آتنا، ۱۳۹۳، ارزیابی اثر اقلیم بر منابع آب زیرزمینی با استفاده از شاخص‌های اقلیمی، GIS و شبکه عصبی NARX (مطالعه موردی: دشت رامهرمز- استان خوزستان)، فصلنامه بین المللی پژوهشی تحلیلی منابع آب و توسعه، سال دوم، شماره ۱، پیاپی ۴، صص ۵۴-۷۰.

۴. خوش اخلاق، رنجبر، طولابی؛ فرامرز، فیروز، سجاد؛ ۱۳۸۹، بررسی خشکسالی در سال آبی ۸۷-۸۶ و اثرات آن بر منابع آب و کشاورزی در شهر مرودشت، فصلنامه علمی- پژوهشی انجمن جغرافیای ایران، دوره جدید، سال هشتم، شماره ۲۴، صص ۱۱۹- ۱۳۶.

۵. رهمنا؛ میراثی؛ حسین، سهرباب، ۱۳۹۳، خشکسالی و بحران آب در دشت‌های ایران، مطالعه موردی: مرودشت و خانمیرزا در استان فارس و چهار محال و بختیاری، فصلنامه بین المللی پژوهشی تحلیلی منابع آب و توسعه، سال دوم، شماره ۱، پیاپی ۴، صص ۱۲۹-۱۵۴.

۶. سلطانی گرد فرامرزی؛ مهدیه، ۱۳۹۳، تحلیل خشکسالی‌های اقلیمی بر میزان شوری منابع آب زیرزمینی دشت یزد - اردکان، مظفری؛ غلامعلی، دانشگاه یزد، گروه جغرافیا.

۷. کاردان مقدم، نخاشعی سیوکی؛ حمید، عباس؛ ۱۳۹۱، پنهان‌بندی در علوم آب با استفاده از زمین آمار، انتشارات قدس رضوی، ص ۴۲.

۸. کیانی، خوش روش؛ علیرضا، مجتبی، آب و